

Dynamique de réseaux multi-échelles complexes sous contraintes: Modélisation et Analyse

Liam Toran

Stage de fin de M2A 2019 au Laboratoire J.A. Dieudonné de l'Université de Nice
sous la supervision d'Yves D'Angelo, Rémi Catellier et Laurent Monasse.

Thèmes : Mathématiques et leurs Interactions, Modélisation, Analyse, Processus Stochastiques, Équations aux dérivées partielles et ordinaires, Stabilité, Réaction-Diffusion, Ondes progressives, Simulation Numérique.



FIGURE 1 – Capture d'un réseau de champignon en expansion,
par Éric Herbert, Gwenaël Ruprich-Robert et Florence Leclerc.

Table des matières

1	L'équation de Fisher ou KPP	3
1.1	Preliminaire	3
1.2	Réaction	3
1.3	Réaction-Diffusion	3
1.4	Solutions d'ondes plane stationnaire / onde progressive	4
1.5	Dans l'exemple de Fisher-KPP	5
1.6	Théorèmes de sélection de la vitesse pour KPP	5
2	Dynamique de Réseaux en Croissance	6
2.1	Explication des équations du système (7)	6
2.2	Dérivation de l'équation "KPP avec mémoire"	7
2.3	Propriétés de l'équation de réaction associée à "KPP avec mémoire"	7
3	Recherche de la vitesse d'onde des solutions progressives de l'Équation KPP avec Mémoire	9
3.1	Linéarisation au voisinage de $(0, 0, C_0)$	9
3.1.1	Première condition : P' a deux annulations :	9
3.1.2	Deuxième condition : $\Delta > 0$:	10
3.1.3	Signe des racines au voisinage de $(0, 0, C_0)$	10
3.2	Linéarisation au voisinage de $(0, \rho_\infty, 0)$	10
4	Schémas Numériques	12
4.1	Pour l'équation différentielle ordinaire	12
4.1.1	Schéma semi-implicite I pour l'EDO	12
4.1.2	Schéma semi-implicite II pour l'EDO	12
4.2	Pour l'équation aux dérivées partielles	13
4.2.1	Schéma semi-implicite I pour l'EDP en 1D	13
5	Résolution numérique	15
5.1	Résolution de l'EDO	15
5.1.1	Résultat de la simulation de l'EDO	15
5.1.2	Observations de la simulation de l'EDO	15
5.2	Résolution de l'EDP en 1D	17
5.2.1	Résultat de la simulation de l'EDP en 1D	17
5.3	Résolution de l'EDP en 2D	19
6	Recherche de la vitesse d'onde des solutions progressives de l'Équation fluide complète du champignon.	21
	Appendices	23

1 L'équation de Fisher ou KPP

1.1 Préliminaire

Notre point de départ est l'équation de diffusion :

$$\partial_t u = \Delta u \quad (1)$$

En plus de la diffusion, considérons des modèles où le taux d'accroissement de u dépend aussi de la densité u .

Ceci donne les équations de réaction-diffusion :

$$\partial_t u = \Delta u + F(u) \quad (2)$$

où F est assez lisse.

Il est souvent naturel dans les modèles de considérer $F(u)$ proportionnel à u pour u petit ("croissance"), et quand u devient proche de 1, l'accroissement $F(u)$ s'arrête : $F(1) = 0$ ("saturation"). Ces types de modèles ont été introduits et examinés par les travaux de Fisher[1] et Kolmogorov, Petrovsky et Piscounov (abrégés KPP).

Un exemple d'une telle équation est :

$$\partial_t u = \Delta u + ru(1 - u) \quad (3)$$

où $r > 0$, qui sera dans la suite étudiée dans le cas 1-dimensionnel en $x : u = u(x, t)$.

1.2 Réaction

En observant les solutions constantes en $x : u(x, t) = v(t)$ dans (3), l'équation différentielle ordinaire (EDO ou ODE) suivante est obtenue :

$$\partial_t v = r(v - v^2) = F(v) \quad (4)$$

Il y a deux équilibres ($F(v) = 0$) pour $v = 0$ et $v = 1$.

Par le théorème de stabilité de Lyapunov, $F'(0) > 0$ montre que $v = 0$ est instable et $F'(1) < 0$ montre $v = 1$ est asymptotiquement stable.

1.3 Réaction-Diffusion

Dans l'espace $X = C_{b,unif}^0(\mathbb{R}, \mathbb{R})$ des fonctions bornées et uniformément continues, il y a existence locale et unicité des solutions de l'équation de Fisher-KPP (2). Grâce à un principe du maximum, il y a aussi existence globale et unicité des solutions.

Théorème 1. Existence et Unicité de la solution de Fisher-KPP dans X :

Soit $U_0 \in X$. Il existe une unique solution de l'équation de Fisher-KPP (2) $U \in C([0, \infty[, X)$ avec condition initiale U_0 .

Théorème 2. Principe du Maximum :

Soit u_1 et u_2 deux solutions de (2).

Si il existe t_0 tel que $u_1(x, t_0) < u_2(x, t_0) \forall x$ alors $u_1(x, t) < u_2(x, t) \forall x$ et $\forall t > t_0$

1.4 Solutions d'ondes plane stationnaire / onde progressive

Rappelons la définition d'une solution en onde plane stationnaire / onde progressive :

Définition 1.1. Solutions en onde plane stationnaires.

Une solution en onde plane stationnaire est une solution de la forme $u(x, t) = h(x - st)$ où $c \in \mathbb{R}$. On fera parfois l'abus de notation $u(x, t) = u(x - st)$

Sous des hypothèses “faibles” sur F , l'équation (2) : $\partial_t u = \Delta u + F(u)$ a alors la propriété surprenante et importante de posséder des solutions en ondes planes stationnaires liant les états d'équilibre $u = 1$ (à $-\infty$) et $u = 0$ (à $+\infty$).

Les hypothèses sur F portent en partie sur le fait que (2) doit posséder :

- Deux états d'équilibre $u = 1$ et $u = 0$: $F(0) = F(1) = 0$:
- Un phénomène de “croissance” : $F'(0) > 0$
- Un phénomène de “saturation” : $F'(1) < 0$

Étude des solutions en ondes progressive de (2) :

En substituant $u(x, t) = h(x - st) = h(y)$ pour $y = x - st$ dans (2), les équations obtenues sur h sont :

$$\begin{cases} h''(y) + sh'(y) + F(h(y)) = 0 \\ h(-\infty) = 1 \\ h(+\infty) = 0 \end{cases} \quad (5)$$

qui est une équation elliptique non linéaire. Le problème est donc de trouver s et $h \in C^2$ tels que le système (5) soit vérifié. Le théorème obtenu est le suivant :

Théorème 3. Existence de solutions en onde progressive pour les équations de réaction-diffusion :

Soit $F \in C^1([0, 1])$ tel $F(0) = F(1) = 0$ et $F \geq 0$.

Il existe une vitesse critique s_* telle que $s_*^2 \geq 4F'(0)$ et :

- i) $\forall s \geq s_*$, l'équation (5) a une solution $h_s : \mathbb{R} \rightarrow]0, 1[$ de classe C^3 . Cette solution est unique à translation près.
- ii) $\forall s < s_*$ l'équation (5) n'a pas de solution $h : \mathbb{R} \rightarrow [0, 1]$

Remarques :

Dans le cas ii) il existe des solutions en ondes planes mais elles ne sont pas confinées dans $[0, 1]$ ni dans \mathbb{R}^+ , ce qui ne fait pas de sens dans une étude de densité de population.

Dans le cas de l'équation de Fisher-KPP, c'est à dire pour $F(u) = r(u - u^2)$, on a $s_*^2 = 4F'(0) = 4r$: la vitesse minimale de propagation est $s^* = 2\sqrt{r}$.

1.5 Dans l'exemple de Fisher-KPP

Considérons l'équation de Fisher-KPP (3) : $\partial_t u = \Delta u + ru(1 - u)$.

Comme $u \equiv 0$ et $u \equiv 1$ sont des solutions particulières de (3), si $0 \leq u_0(x) \leq 1 \ \forall x$, alors par le principe du maximum on a $0 \leq u(x, t) \leq 1 \ \forall x, t$.

Soit h une solution en onde plane de (5) avec $0 \leq h \leq 1 \ \forall y$, i.e. $h''(y) + sh'(y) + rh(y) - rh^2(y) = 0$. En linéarisant autour de l'état $h = 0$ on obtient :

$$h''(y) + sh'(y) + rh(y) = 0 \quad (6)$$

de polynôme caractéristique $X^2 + sX + r = 0$ et de discriminant $\Delta = s^2 - 4r$.

On voit alors que la condition $s^2 \geq 4r$ est nécessaire pour que $0 \leq h \leq 1$: c'est la condition d'amortissement fort de l'oscillateur autour de l'état $h = 0$.

1.6 Théorèmes de sélection de la vitesse pour KPP

Le théorème important suivant est du aux travaux de Kolmogorov, Petrovsky et Piscounov de 1937. C'est l'article et le résultat fondateur de la théorie des ondes planes dans les systèmes de réaction-diffusion.

Théorème 4. Convergence vers une solution d'onde à vitesse minimale pour les solutions de l'équation de Fisher-KPP avec une donnée initiale à support compact

Soit $u_0 \rightarrow]0, 1[$ une donnée initiale à support compact. Soit u la solution de l'équation de Fisher-KPP (3) avec $r = 1$ et de donnée initiale u_0 . Alors quand $t \rightarrow \infty$, u converge uniformément en x vers une solution d'onde h_{s^*} de (5) qui se déplace à vitesse minimale $s^* = 2$:

$$\sup_{y \in \mathbb{R}} |u(y + m(t), t) - h_{s^*}(y)| \rightarrow_{t \rightarrow \infty} 0$$

où $m(t) = 2t - (3/2) \log(t) + y_0$.

Remarque : La vitesse du front est alors $s(t) = \partial_t m(t) = 2 - \frac{3}{2t} \rightarrow_{t \rightarrow \infty} 2$.

Ce résultat a été raffiné par la suite par Uchiyama, Bramson et Lau. Leurs travaux apportent plus d'informations sur comment la vitesse du front se sélectionne en fonction de la donnée initiale, et comment il est possible d'obtenir d'autres vitesses de fronts que la vitesse minimale en fonction de la donnée initiale.

Théorème 5. Sélection de la vitesse pour les solutions de l'équation de Fisher-KPP en fonction de la donnée initiale

Si $u_0 \rightarrow]0, 1[$ vérifie $\liminf_{x \rightarrow -\infty} u_0(x) > 0$ et $\int_0^{+\infty} x e^x u_0(x) / dx < \infty$ alors il existe $y_0 \in \mathbb{R}$ tel que la solution de (3) avec données initiales u_0 vérifie

$$\sup_{y \in \mathbb{R}} |u(y + m(t), t) - h_{s^*}(y)| \rightarrow_{t \rightarrow \infty} 0$$

où $m(t) = 2t - (3/2) \log(t) + y_0$.

D'autres vitesses peuvent être sélectionnées : Si la donnée initiale vérifie $u_0(x) \approx e^{-\lambda_-(s)x}$ quand $x \rightarrow +\infty$, où $\lambda_-(s)$ est la plus petite racine du polynôme caractéristique $X^2 + sX + r = 0$, alors la solution converge vers une onde progressive de vitesse s .

2 Dynamique de Réseaux en Croissance

Dans cette section et par la suite nous étudions le modèle sur la croissance de réseaux dynamiques branchants, par exemple un champignon, proposé par Rémi Catellier, Yves D'Angelo et Cristiano Ricci, avec rescaling adéquat :

$$\begin{cases} \partial_t \mu + \nabla(\mu v) = f(C)(\mu + \rho) - \mu \rho \\ \partial_t(\mu v) + \nabla(\mu v \times v) + T \nabla \mu = -\lambda \mu v + \mu \nabla C - \mu v \rho \\ \partial_t \rho = F(v) \mu \\ \partial_t C = -b \rho C \end{cases} \quad (7)$$

L'inconnue μ représente la densité des apex du champignon.

L'inconnue ρ représente la densité des hyphes/ du réseau.

L'inconnue v représente la vitesse des apex.

L'inconnue C représente la concentration des nutriments.

Les paramètres T , λ et b sont des scalaires représentant la température, l'amortissement fluide sur la vitesse des apex, et le taux de consommation des nutriments par le réseau.

La fonction f indique l'influence de la concentration de nutriments sur la croissance du champignon. Pour avoir un état stationnaire sur la croissance du champignon, $f(0) = 0$ et $f(x)/x$ dans L^1 proche de 0 sont imposés.

La fonction F représente l'inverse du temps moyen passé par les apex dans un point donné, et est donné par l'expression :

$$F(V) = \left(\frac{1}{2\pi T}\right)^{\frac{d}{2}} \int_{\mathbb{R}^d} |v| \exp\left(-\frac{|v - V|^2}{2T}\right) dv \quad (8)$$

où d est la dimension du problème. Ceci est souvent simplifié en substituant $F(V)$ par une constante : $F(V) = F_0$.

2.1 Explication des équations du système (7)

Le champignon est un réseau branchant dynamique qui peut être étudié en deux parties : les apex (pointes du réseau) représentés par leur densité μ et les hyphes (branches du réseau) représentés par leur densité ρ

Les lignes du système (7) représentent :

i) La première ligne du système est le bilan de masse sur les apex avec le terme gauche classique $\partial_t \mu + \nabla(\mu v)$. Le terme de droite est composé de : - $f(C)(\mu + \rho)$ correspondant à une croissance proportionnelle à la concentration de nutriments du réseau et la masse existante d'apex et d'hyphes, - et un terme $-\mu \rho$ qui correspond à l'anastomose : une pointe qui rencontre une branche va fusionner avec elle et être détruite. Il y a un terme de croissance et un terme de saturation comme pour le modèle KPP.

ii) La deuxième ligne est le bilan de vitesse avec le terme de gauche classique $\partial_t(\mu v) + \nabla(\mu v \times v)$. Le terme $T \nabla \mu$ représente le mouvement brownien suivi par les apex. Le terme $-\lambda \mu v$ représente un amortissement fluide dans la physique du problème. Le terme $+\mu \nabla C$ représente la tendance des apex à aller vers les milieux de forte concentration. Le terme $-\mu v \rho$ représente la perte de vitesse due à l'anastomose.

iii) La troisième ligne correspond à la relation entre les branches et les pointes : la trace laissée par les apex sont les branches.

iv) La quatrième ligne décrit l'évolution de la concentration de nutriments : ils sont consommés par les hyphes avec un taux bC où b est une constante positive.

2.2 Dérivation de l'équation "KPP avec mémoire"

En faisant tendre T et λ vers $+\infty$, avec $\frac{T}{\lambda} = K$ constant, la deuxième ligne de (7) donne :

$$+K\nabla\mu = -\mu v \quad (9)$$

En injectant ceci dans la ligne 1 du système, on obtient le système de 3 inconnues suivant :

$$\begin{cases} \partial_t \mu = K\Delta\mu + f(C)(\mu + \rho) - \mu\rho \\ \partial_t \rho = F_0\mu \\ \partial_t C = -b\rho C \end{cases} \quad (10)$$

dit "KPP avec mémoire".

2.3 Propriétés de l'équation de réaction associée à "KPP avec mémoire"

Soit (μ, ρ, C) vérifiant le système d'équations suivant :

$$\begin{cases} \partial_t \mu = f(C)(\mu + \rho) - \mu\rho \\ \partial_t \rho = F_0\mu \\ \partial_t C = -b\rho C \end{cases} \quad (11)$$

avec $f(0) = 0$.

Ce système correspond au système "KPP avec mémoire" sans le terme de diffusion. On s'intéresse au comportement de (μ, ρ, C) sur \mathbb{R}^+ :

Lemme 1. C est de signe constant.

En effet on a $C(t) = C(0) \exp(-b \int_0^t \rho(s) ds)$.

Lemme 2. Soit (μ, ρ, C) tel que $(\mu(0), \rho(0)) > (0, 0)$ (les deux positifs, au moins un non nul), $C(0) > 0$.

Alors $\mu(t) \geq 0 \forall t > 0$.

Démonstration. Supposons par l'absurde que μ devient négatif alors soit $t^* = \inf(t > 0 / \mu(t) < 0)$. Alors :

$$\mu(t) \geq 0 \forall t \leq t^*$$

$$\partial_t \mu(t^*) \leq 0 \text{ par définition de } t^*. \text{ (Sinon } \mu(t^* + \epsilon) > 0 \forall \epsilon \ll 1)$$

$$\rho(t) > 0 \forall t \leq t^* \text{ car } \partial_t \rho = F_0\mu \text{ et } F_0 > 0$$

$$\partial_t \mu(t^*) = f(C(t^*))\rho(t^*) > 0 \text{ ce qui est en contradiction avec la deuxième affirmation.} \quad \square$$

Dans la suite on se place dans le cas où $(\mu(0), \rho(0)) > (0, 0)$, $C(0) > 0$:

Lemme 3. ρ est croissante car $\partial_t \rho = F_0\mu \geq 0$. En particulier ρ est positive.

Lemme 4. C est décroissante et $\lim_{t \rightarrow +\infty} C(t) = 0$

Démonstration. ρ est positive donc C est décroissante.

$(\mu(0), \rho(0)) > (0, 0)$ et $\partial_t \rho = F_0\mu$ impliquent qu'il existe un t_0 tel que $\rho(t_0) > 0$.

Comme ρ est croissante $\forall t \geq t_0$, $\rho(t) \geq \rho(t_0)$.

$$\text{Donc } \forall t \geq t_0, 0 < C(t) = C(0) \exp(-b \int_0^t \rho(s) ds) \leq C_{ste} e^{-b\rho(t_0)t} \xrightarrow[t \rightarrow +\infty]{} 0$$

Donc $\lim_{t \rightarrow +\infty} C(t) = 0$. \square

Lemme 5. Si f est croissante et $\int_0^1 \frac{f(x)}{x} dx < \infty$ alors μ est bornée.

Démonstration. On a $\partial_t \mu = f(C)(\mu + \rho) - \mu\rho \leq f(C)\mu + f(C)\rho$.

Montrons que $f(C)$ est intégrable :

$C(t) \leq C_{ste} e^{-b\rho(t_0)t}$ et f est croissante donc $\int_0^\infty f(C) dt \leq \int_0^\infty f(C_{ste} e^{-b\rho(t_0)t}) dt$.

Soit le changement de variable $u = C_{ste} e^{-b\rho(t_0)t}$, $du = -b\rho(t_0)u dt$:

$\int_0^\infty f(C_{ste} e^{-b\rho(t_0)t}) dt = \frac{1}{b\rho(t_0)} \int_0^1 \frac{f(u)}{u} du < \infty$ car $\int_0^{C_{ste}} \frac{f(x)}{x} dx < \infty$ donc $f(C)$ est intégrable.

Montrons que $\phi = f(C)\rho$ est intégrable :

Effectuons le changement de variable $u = C$, $du = -b\rho u dt$ dans $\int_0^\infty f(C)\rho dt$:

$\int_0^\infty f(C)\rho dt = \frac{1}{b\rho(t_0)} \int_0^{C_{ste}} \frac{f(u)}{u} du < \infty$ car $\int_0^{C_{ste}} \frac{f(x)}{x} dx < \infty$ donc $\phi = f(C)\rho$ est intégrable.

On a $\partial_t \mu \leq f(C)\mu + \phi$.

Par le lemme de Gronwall :

$\mu(t) \leq \mu(0) + \int_0^t \phi(s) ds + \int_0^t \phi(s) f(C)(s) \exp(\int_s^t f(C)(u) du) ds$

$\leq \mu(0) + \int_0^{+\infty} \phi(s) ds + \int_0^t \phi(s) f(C)(s) \exp(\int_0^{+\infty} f(C)(u) du) ds$

$\leq \mu(0) + \int_0^{+\infty} \phi(s) ds + \exp(\int_0^{+\infty} f(C)(u) du) \int_0^t \phi(s) f(C)(s) ds$

$f(C)$ est bornée et ϕ est intégrable donc $f(C)\phi$ est intégrable.

On a donc : $\mu(t) \leq \mu(0) + \int_0^{+\infty} \phi(s) ds + \exp(\int_0^{+\infty} f(C)(u) du) \int_0^{+\infty} \phi(s) f(C)(s) ds \quad \forall t$ □

Dans la suite on se place dans le cas où f est croissante et $\int_0^1 \frac{f(x)}{x} dx < \infty$

Lemme 6. $\lim_{t \rightarrow +\infty} \mu = 0$ et $\lim_{t \rightarrow +\infty} \rho = \rho_\infty < +\infty$

Démonstration. μ est bornée, soit μ_n une suite extraite de la fonction μ qui tend vers ℓ .

On a $\ell - \mu(t) = \lim_{n \rightarrow +\infty} \int_t^{t_n} \partial_t \mu ds = \lim_{n \rightarrow +\infty} \int_t^{t_n} f(C)(\mu + \rho) - \mu\rho ds$.

Or $f(C)$ est intégrable (c.f. preuve du lemme 5) et μ est bornée donc $f(C)\mu$ est intégrable.

De même $f(C)\rho$ est intégrable (c.f. preuve du lemme 5).

On a donc $\lim_{n \rightarrow +\infty} \int_t^{t_n} \mu\rho = \int_t^{+\infty} (f(C)\mu + f(C)\rho) dt + \ell - \mu(t)$

Or $\mu\rho = F_0 \rho \partial_t \rho = \frac{F_0}{2} \partial_t \rho^2$ donc $\int_t^{t_n} \mu\rho dt = \frac{F_0}{2} (\rho(t_n)^2 - \rho(t)^2)$.

Or ρ est croissante donc a une limite dans $[0, +\infty]$.

Ainsi ℓ est déterminée entièrement par la limite de ρ et ne dépend pas de la suite extraite.

Par critère séquentiel μ a une limite ℓ qui est finie car μ est bornée.

Mais alors $\lim_{t \rightarrow +\infty} \frac{F_0}{2} (\rho(t)^2 - \rho(T)^2) = \int_T^\infty (f(C)\mu + f(C)\rho) dt + \ell - \mu(T) < \infty$.

Donc ρ^2 a une limite finie et donc ρ aussi.

Comme $\mu = \frac{\partial_t \rho}{F_0}$ et ρ a une limite finie et μ aussi, μ tend nécessairement vers 0. □

3 Recherche de la vitesse d'onde des solutions progressives de l'Équation KPP avec Mémoire

On a le modèle suivant :

$$\begin{cases} \partial_t \mu - K \Delta \mu = f(C)(\mu + \rho) - \mu \rho \\ \partial_t \rho = F_0 \mu \\ \partial_t C = -b \rho C \end{cases} \quad (12)$$

où $f(0) = 0$ et f est positive. Typiquement, $f(C) = C$:

On recherche des solutions en onde plane, on pose s la vitesse d'onde et $\xi = x - st$.

Par abus de notation, on pose $\mu(\xi) = \mu(x, t)$, $\rho(\xi) = \rho(x, t)$, etc...

On a alors :

$$\begin{cases} -s\mu' - K\mu'' = f(C)(\mu + \rho) - \mu\rho \\ -s\rho' = F_0\mu \\ C' = \frac{b\rho C}{s} \end{cases} \quad (13)$$

Nos états stationnaires (i.e. qui correspondent à des dérivées nulles) sont :

$$(\mu, \rho, C) = \begin{cases} (0, 0, C_0) \\ (0, \rho_\infty, 0), \rho_\infty > 0 \end{cases} \quad (14)$$

3.1 Linéarisation au voisinage de $(0, 0, C_0)$

Au voisinage de $(0, 0, C_0)$ on a, en posant $f(C_0) = f_0$, la linéarisation de 12 :

$$\begin{cases} -s\mu' - K\mu'' = f_0(\mu + \rho) \\ -s\rho' = F_0\mu \end{cases} \quad (15)$$

ce qui devient :

$$\rho''' + \frac{s}{K}\rho'' + \frac{f_0}{K}\rho' - \frac{F_0 f_0}{Ks}\rho = 0 \quad (16)$$

de polynôme caractéristique :

$$P(X) = X^3 + \frac{s}{K}X^2 + \frac{f_0}{K}X - \frac{F_0 f_0}{Ks}. \quad (17)$$

Le signe de s correspondant à la direction de propagation, il y'a symétrie en s : on prend ici $s < 0$ ce qui correspond à une propagation vers la gauche.

Pour $s < 0$, P est de degré 3 et $P(0) > 0$ donc P a une racine négative r_1 .

Pour conserver la positivité autour de l'état $(0, 0, C_0)$ il faut que les racines de P soit réelles : sinon on obtient des oscillations autour de 0.

Pour que P ait deux autres racines réelles $r_3 > r_2 > r_1$ il faut (condition nécessaire et suffisante) que P' s'annule deux fois et que le discriminant Δ de P soit positif.

3.1.1 Première condition : P' a deux annulations :

$P'(X) = 3X^2 + 2\frac{s}{K}X + \frac{f_0}{K}$ a pour discriminant $\Delta' = 4\frac{1}{K^2}(s^2 - 3Kf_0)$ ce qui donne la condition

$$\boxed{s^2 > 3Kf_0.} \quad (18)$$

3.1.2 Deuxième condition : $\Delta > 0$:

Pour $P = aX^3 + bX^2 + cX + d$ on a $\Delta = b^2c^2 + 18abcd - 27a^2d^2 - 4ac^3 - 4b^3d$ ce qui dans notre cas donne

$$\begin{aligned}\Delta &= \frac{1}{K^4}f_0^2s^2 - 18\frac{f_0^2F_0}{K^3} - 27\frac{F_0^2f_0^2}{K^2s^2} - 4\frac{f_0^3}{K^3} + 4\frac{F_0f_0s^2}{K^4} \\ &= s^2\frac{f_0(f_0 + 4F_0)}{K^4} - \frac{f_0^2(18F_0 + 4)}{K^3} - \frac{27F_0^2f_0^2}{K^2}\frac{1}{s^2} \\ &= \frac{f_0}{K^4s^2}[(f_0 + 4F_0)s^4 - Kf_0(18F_0 + 4)s^2 - 27K^2F_0^2f_0].\end{aligned}$$

On est revenu à étudier le signe du polynôme en s^2 :

$$D(s^2) = (f_0 + 4F_0)s^4 - Kf_0(18F_0 + 4)s^2 - 27K^2F_0^2f_0 \quad (19)$$

de discriminant d :

$$\begin{aligned}d &= \left(Kf_0(18F_0 + 4)\right)^2 + 108(f_0 + 4F_0)K^2F_0^2f_0 \\ &= K^2f_0(f_0(18F_0 + 4)^2 + 108(f_0 + 4F_0)F_0^2) > 0.\end{aligned}$$

On obtient donc la condition sur la positivité de Δ :

$$s^2 > K \frac{f_0(18F_0 + 4) + \sqrt{f_0(f_0(18F_0 + 4)^2 + 108(f_0 + 4F_0)F_0^2)}}{2(f_0 + 4F_0)}. \quad (20)$$

3.1.3 Signe des racines au voisinage de $(0, 0, C_0)$

On sait déjà que $r_3 < 0$. Comme $r_1r_2r_3 < 0$, on remarque que r_2 et r_1 sont du même signe. De plus P' a un axe de symétrie $X = -\frac{s}{3K} > 0$ car $s < 0$ donc P atteint un minimum local (forcement négatif) en un point positif donc P a une racine positive.

On en déduit $r_1 > r_2 > 0$:

Sous les conditions (18) et (20), P a deux racines positives et une négative.

Conclusion Comme pour l'équation de KPP, la linéarisation autour de l'état $(0, 0, C_0)$ fait apparaître une condition sur s nécessaire pour préserver la positivité.

3.2 Linéarisation au voisinage de $(0, \rho_\infty, 0)$

Autour de $(0, \rho_\infty, 0)$: Posons $(\mu, \rho, C) = (\mu, \rho_\infty + \epsilon, C)$. On a

$$\begin{cases} -s\mu' - K\mu'' = f(C)\rho_\infty - \mu\rho_\infty \\ C' = \frac{b\rho_\infty C}{s} \\ -s\epsilon' = F_0\mu. \end{cases} \quad (21)$$

La deuxième ligne donne

$$C(y) = \Lambda \exp\left(\frac{b\rho_\infty}{s}y\right) \quad (22)$$

et la réunion de la première et la troisième se traduit sur ϵ par :

$$s^2\epsilon'' + Ks\epsilon''' = f(C)F_0\rho_\infty + s\epsilon'\rho_\infty \quad (23)$$

qui est une EDO d'ordre trois en ϵ avec terme source $\frac{F_0 f(C)}{Ks} \rho_\infty$ de polynôme caractéristique :

$$Q(X) = X^3 + \frac{s}{K} X^2 - \frac{\rho_\infty}{K} X \quad (24)$$

qui possède toujours trois racines : 0, une négative et une positive : $X = -\frac{1}{2K}(s \pm \sqrt{s^2 + 4\rho_\infty Ks})$.

Sur μ on a :

$$-s\mu' - Ks\mu'' = f(C)\rho_\infty - \mu\rho_\infty. \quad (25)$$

Dans le cas $f(C) = C$:

μ a pour polynôme caractéristique homogène $M(X) = X^2 + \frac{1}{K}X - \frac{\rho_\infty}{Ks}$ de racines :

$$r_{+,-} = -\frac{1}{2K}(1 \pm \sqrt{1 + 4\frac{\rho_\infty K}{s}})$$

donc $\mu_H = Ae^{r_+y} + Be^{r_-y}$ (On choisit $r_+ > 0, r_- < 0$).

En cherchant une solution particulière de la forme $\mu_p = M \exp(\frac{b\rho_\infty}{s}y)$ on obtient $M = -\frac{\Lambda}{b^2\rho_\infty K + b - 1}$

et donc $\mu = Ae^{r_+y} + Be^{r_-y} + Me^{\frac{b\rho_\infty}{s}y}$ et donc $\rho = \rho_\infty + \alpha e^{r_+y} + \beta e^{r_-y} + \frac{Ms}{b\rho_\infty} \exp(\frac{b\rho_\infty}{s}y)$.

Conclusion Comme pour l'équation de KPP, on obtient à priori pas de condition sur s suite à la linéarisation autour de l'état $(0, \rho_\infty, 0)$ mais seulement des informations sur la dynamique autour de ces états.

4 Schémas Numériques

On a le modèle suivant (“KPP avec mémoire”) :

$$\begin{cases} \partial_t \mu = K \Delta \mu + C(\mu + \rho) - \mu \rho \\ \partial_t \rho = F_0 \mu \\ \partial_t C = -b \rho C \end{cases} \quad (26)$$

que l’on souhaite simuler par différences finies.

Il y a plusieurs difficultés : capture de fronts raides, exigence de positivité, difficulté calculatoire du schéma entièrement implicite... C’est pour cela que l’on choisira un schéma semi-implicite.

4.1 Pour l’équation différentielle ordinaire

Sans dépendance spatiale (équation de réaction) :

$$\begin{cases} \partial_t \mu = C(\mu + \rho) - \mu \rho \\ \partial_t \rho = F_0 \mu \\ \partial_t C = -b \rho C \end{cases} \quad (27)$$

4.1.1 Schéma semi-implicite I pour l’EDO

Soit le schéma semi-implicite I pour l’EDO :

$$\boxed{\begin{cases} \mu^{n+1} = \mu^n + \Delta t(C^n(\mu^{n+1} + \rho^{n+1}) - \mu^{n+1}\rho^n) \\ \rho^{n+1} = \rho^n + \Delta t(F_0 \mu^{n+1}) \\ C^{n+1} = C^n - \Delta t(b \rho^{n+1} C^{n+1}) \end{cases}} \quad (28)$$

Ce schéma peut se résoudre efficacement avec la reformulation suivante :

$$\begin{cases} \mu^{n+1}(1 - \Delta t(C^n(1 + \Delta t F_0)) + \rho^n) = \mu^n + \Delta t C^n \rho^n \\ \rho^{n+1} = \rho^n + \Delta t(F_0 \mu^{n+1}) \\ C^{n+1} = C^n \frac{1}{1 + \Delta t b \rho^{n+1}} \end{cases}$$

Positivité du schéma Pour conserver la positivité il suffit que le terme $(1 - \Delta t(C^n(1 + \Delta t F_0)) + \rho^n)$ reste positif :

Par exemple :

$$\boxed{\Delta t(1 + F_0 \Delta t) < \frac{1}{C_0}}. \quad (29)$$

4.1.2 Schéma semi-implicite II pour l’EDO

Soit le schéma semi-implicite II pour l’EDO :

$$\boxed{\begin{cases} \mu^{n+1} = \mu^n + \Delta t(C^n(\mu^{n+1} + \rho^{n+1}) - \mu^n \rho^n) \\ \rho^{n+1} = \rho^n + \Delta t(F_0 \mu^{n+1}) \\ C^{n+1} = C^n - \Delta t(b \rho^{n+1} C^{n+1}). \end{cases}} \quad (30)$$

Ce schéma peut se résoudre efficacement avec la reformulation suivante :

$$\begin{cases} \mu^{n+1}(1 - \Delta t(C^n(1 + \Delta t F_0))) = \mu^n + \Delta t \rho^n (C^n - \mu^n) \\ \rho^{n+1} = \rho^n + \Delta t(F_0 \mu^{n+1}) \\ C^{n+1} = C^n \frac{1}{1 + \Delta t b \rho^{n+1}}. \end{cases}$$

Positivité du schéma Pour conserver la positivité il suffit que les terme $(1 - \Delta t(C^n(1 + \Delta t F_0)))$ et $\mu^n + \Delta t \rho^n(C^n - \mu^n)$ restent positif :
Par exemple :

$$\boxed{C^0 < \frac{1}{\Delta t(1 + F_0 \Delta t)}} \quad (31)$$

et

$$\boxed{\rho^n < \frac{1}{\Delta t}}. \quad (32)$$

En explicitant un terme de plus que le schéma I, on obtient une condition de plus sur la positivité que le schéma semi-implicite I, condition qui dépend en plus du temps ! La schéma I étant déjà relativement aussi difficile à inverser, on choisira dans la suite de simuler le schéma I.

4.2 Pour l'équation aux dérivées partielles

4.2.1 Schéma semi-implicite I pour l'EDP en 1D

Soit le schéma semi-implicite I pour l'EDP en 1D :

$$\boxed{\begin{cases} \mu_i^{n+1} = \mu_i^n + K \Delta t \frac{\mu_{i+1}^{n+1} - 2\mu_i^{n+1} + \mu_{i-1}^{n+1}}{\Delta x^2} + \Delta t(C_i^n(\mu_i^{n+1} + \rho_i^{n+1}) - \mu_i^{n+1} \rho_i^n) \\ \rho_i^{n+1} = \rho_i^n + \Delta t(F_0 \mu_i^{n+1}) \\ C_i^{n+1} = C_i^n - \Delta t(b \rho_i^{n+1} C_i^{n+1}) \end{cases}} \quad (33)$$

Ce schéma a été construit pour donner une équation linéaire en μ^{n+1} :

$$\begin{cases} (1 + \frac{K \Delta t}{\Delta x^2} A - \Delta t(C^n(1 + \Delta t F_0)) + \rho^n) \mu^{n+1} = \mu^n + \Delta t C^n \rho^n \\ \rho^{n+1} = \rho^n + \Delta t(F_0 \mu^{n+1}) \\ C^{n+1} = C^n \frac{1}{1 + \Delta t b \rho^{n+1}} \end{cases}$$

où A est la matrice de discrétisation par différences finies de $-\Delta$ en 1D :

$$A = \begin{bmatrix} 2 & -1 & & 0 \\ -1 & \ddots & \ddots & \\ & \ddots & \ddots & -1 \\ 0 & & -1 & 2 \end{bmatrix} \quad (34)$$

Remarque : pour le schéma en dimension $n \geq 2$, il suffit de remplacer A par la matrice de discrétisation par différences finies de $-\Delta$ en dimension n .

Positivité du schéma : Afin de préserver la positivité, on obtient la même condition (suffisante) que pour l'EDO :

$$\boxed{C^0 < \frac{1}{\Delta t(1 + F_0 \Delta t)}} \quad (35)$$

Démonstration. Supposons $\mu^0 > 0$.

Raisonnons par l'absurde et supposons que $n = \min n \mid \exists j \mid \mu_j^{n+1} < 0$ existe. Soit $j = \arg \min \mu_i^{n+1}$.

On a $(1 - \Delta t(C_j^n(1 + \Delta t F_0)) + \rho_j^n) \mu_j^{n+1} = \mu_j^n + \Delta t C_j^n + \frac{K \Delta t}{\Delta x^2} (\mu_{j+1}^{n+1} - 2\mu_j^{n+1} + \mu_{j-1}^{n+1})$.
Or par définition de n et comme $C^0 < \frac{1}{\Delta t(1 + F_0 \Delta t)}$ et $C^n < C^0$:

Donc $\mu^n + \Delta t C^n > 0$ et $1 - \Delta t (C_j^n (1 + \Delta t F_0)) + \rho_j^n > 0$.

Et par définition de j : $\mu_{j+1}^{n+1} - 2\mu_j^{n+1} + \mu_{j-1}^{n+1} \geq 0$.

On a donc $\mu_j^{n+1} > 0$ mais $\mu_j^{n+1} = \min(\mu_i^{n+1}) < 0$ par définition de j et n : Contradiction. □

5 Résolution numérique

5.1 Résolution de l'EDO

5.1.1 Résultat de la simulation de l'EDO

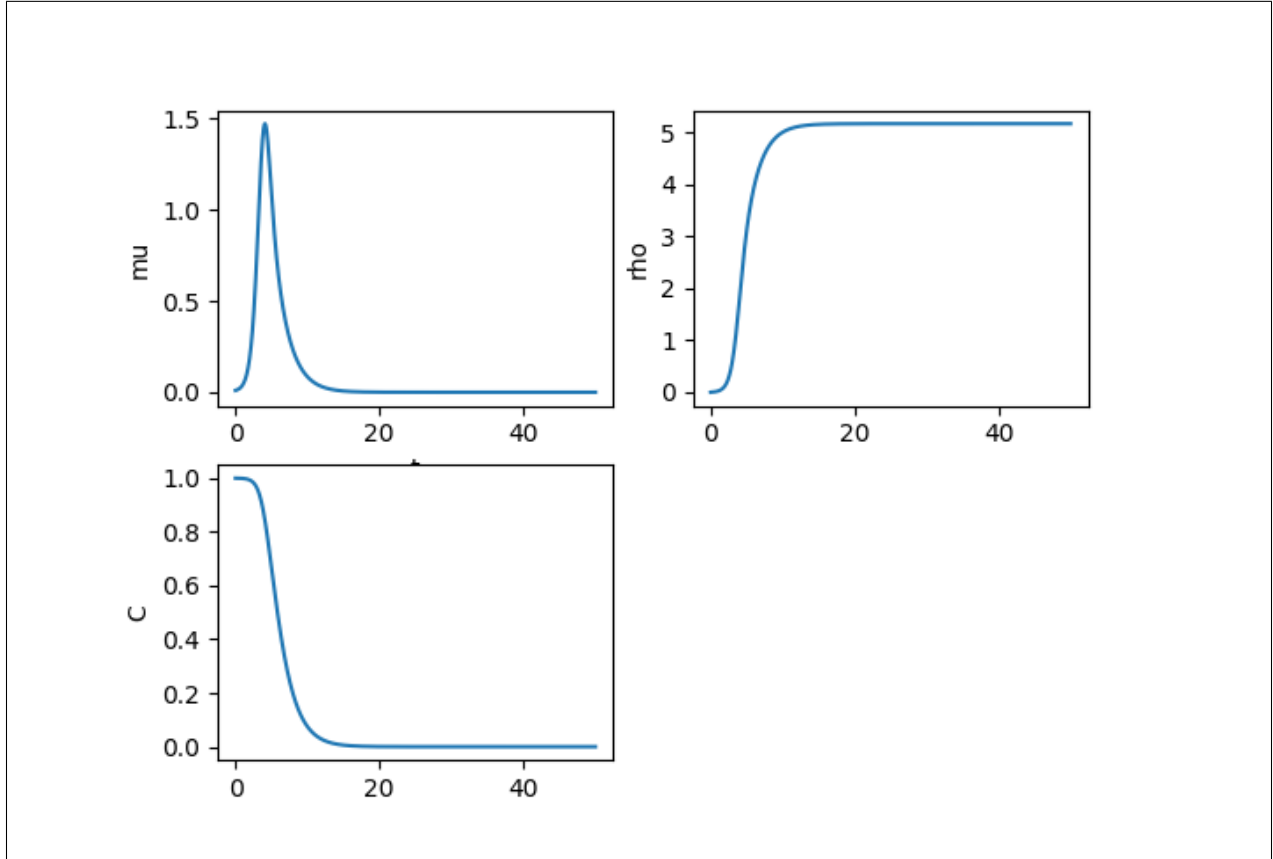


FIGURE 2 – Résolution du schéma semi-implicite I pour l'EDO (équation de réaction)

5.1.2 Observations de la simulation de l'EDO

On observe les phénomènes attendus sur l'EDO :

- i) μ est bornée et tend vers 0.
- ii) ρ est croissante et bornée.
- iii) C décroît vers 0.

-iv) Les solutions ont un comportement exponentiel autour des états stationnaires et ce comportement est bien prédit par la linéarisation de l'EDO autour de ces états :

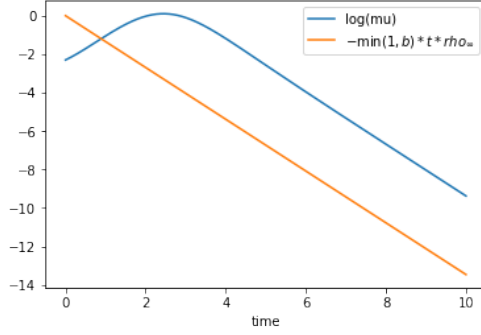


FIGURE 3 – Comportement de $\log(\mu)$, en particulier autour de $(\mu, \rho, C) = (0, \rho_\infty, 0)$. $\log(\mu)$ est bien linéaire autour des états stationnaires et sa pente (le facteur dans l'exponentielle) correspond exactement à $-\min(1, b)\rho_\infty$ ce qui est un résultat obtenu dans la partie Linéarisation

-v) L'ordre de convergence de l'EDO observé est de 1 :

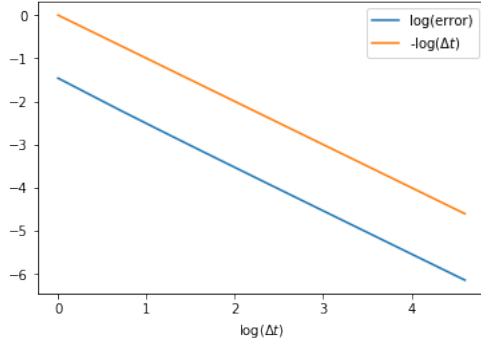


FIGURE 4 – Comportement de l'erreur en norme infinie quand $\Delta t \rightarrow 0$. La solution du schéma semi implicite I est comparée à différents pas de temps Δt à la solution numérique du schéma de Runge-Kutta à l'ordre 4 (RK4) avec $\Delta t = 2 * 10^{-7}$. On observe bien que la convergence est d'ordre 1.

5.2 Résolution de l'EDP en 1D

5.2.1 Résultat de la simulation de l'EDP en 1D

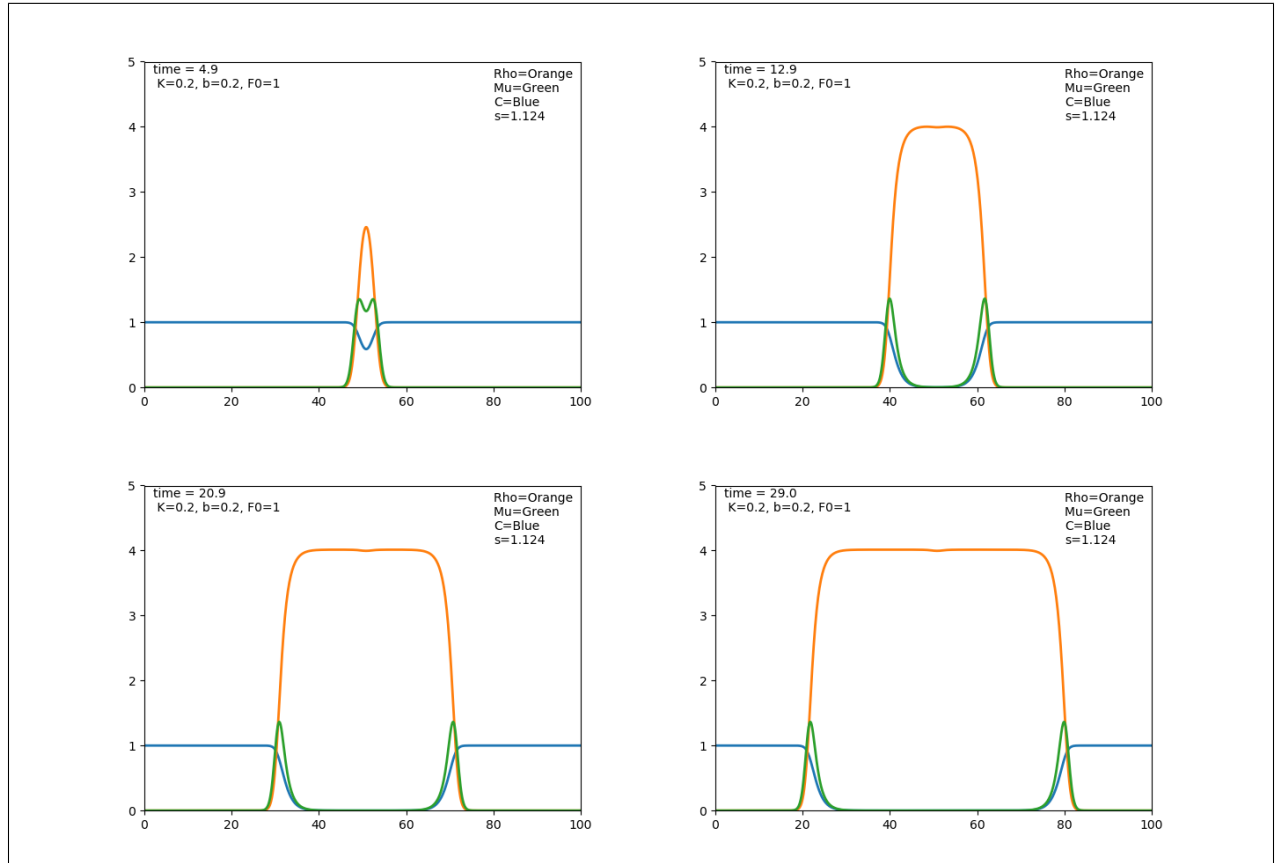


FIGURE 5 – Résolution du schéma semi implicite I pour l'EDP en 1D

On voit sur les simulations que la solution tend vers une solution de type onde plane stationnaire. Il est possible de calculer cette vitesse et de la comparer avec la vitesse théorique minimale obtenue dans la partie 3 :

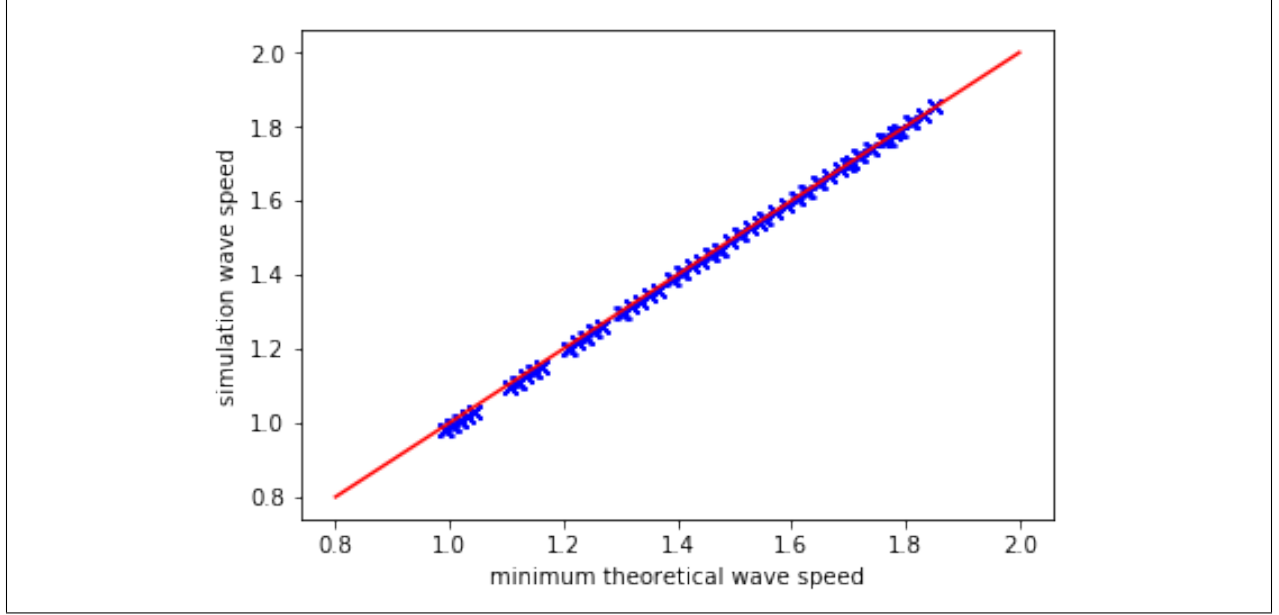


FIGURE 6 – Vitesse du front observée numériquement en fonction de la vitesse minimale théorique

Soit

$$s_{theorique}^* = K \frac{f_0(18F_0 + 4) + \sqrt{f_0(f_0(18F_0 + 4)^2 + 108(f_0 + 4F_0)F_0^2)}}{2(f_0 + 4F_0)} \quad (36)$$

la vitesse minimale théorique obtenue dans la partie 3.

Soit $\rho_\infty = \sup(\rho)$ et

$$X(t) = \inf(x/\rho(x, t) > \frac{\rho_\infty}{2}). \quad (37)$$

$X(t)$ est alors une approximation de la position du front à l'instant t .

La vitesse observée numériquement est alors choisie comme étant :

$$s_{simulation} = \frac{X(t_1 + t_2) - X(t_1)}{t_2} \quad (38)$$

où t_1 et t_2 sont deux temps arbitraires où le front est déjà établi.

Le graphe ci dessus représente par les points bleus la vitesse du front observée numériquement pour différentes simulations (différents K , F_0 et f_0 et données initiales) en fonction de la vitesse minimale théorique associée à cette simulation. La droite rouge est la droite $s_{simu} = s_{theorique}^*$.

On remarque que la vitesse du front observée numériquement est très proche de la vitesse minimale théorique : ce phénomène est similaire à celui de l'équation de Fisher-KPP : pour une donnée initiale à support compact, **le front se propage asymptotiquement à la vitesse minimale de l'équation d'onde associée à l'EDP, obtenu par linéarisation autour de l'état $(0, 0, C_0)$.**

5.3 Résolution de l'EDP en 2D

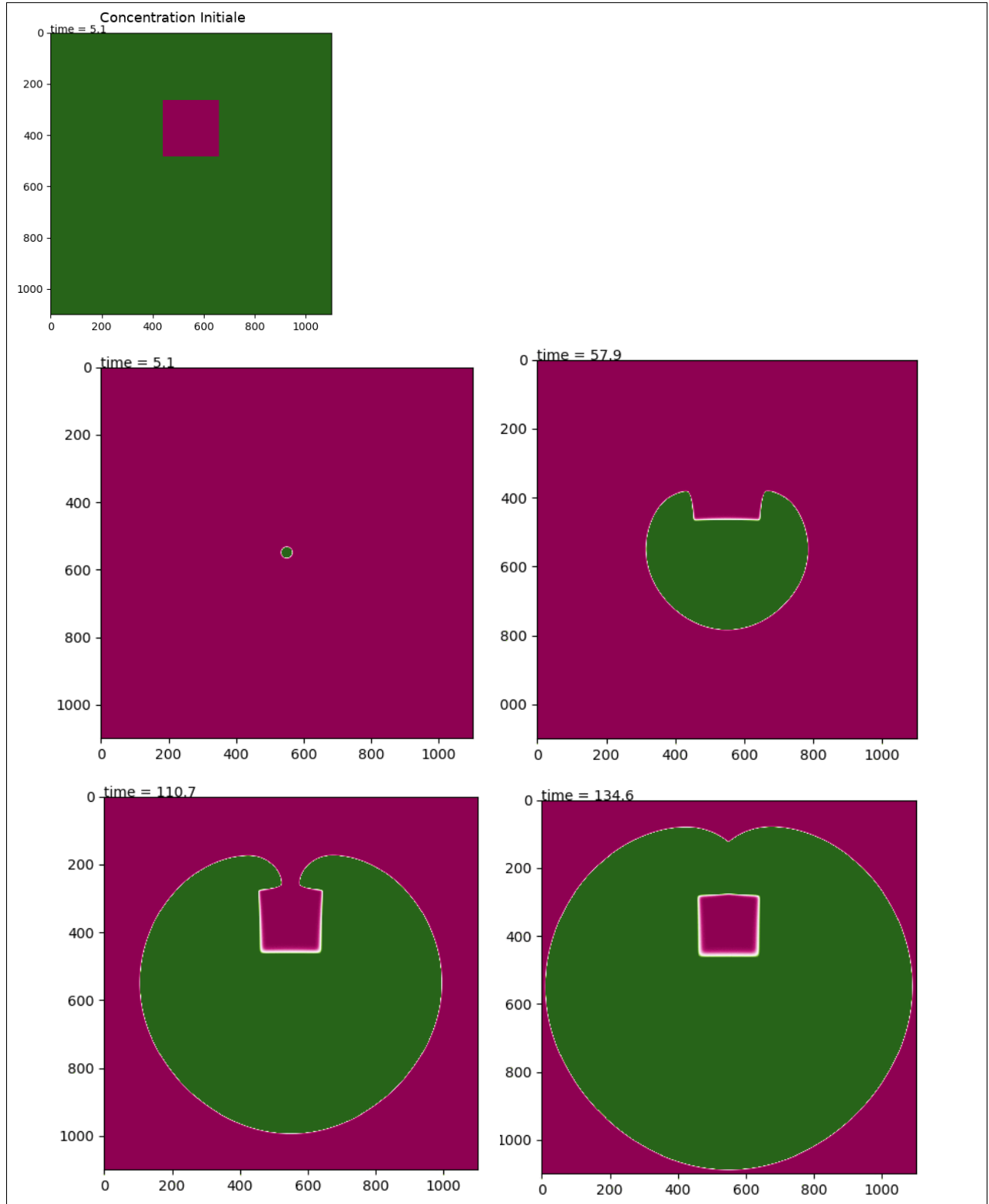


FIGURE 7 – Évolution de ρ pour la résolution du schéma semi implicite I pour l'EDP en 2D avec un trou de concentration. Ici la grille est de taille 1100x100, avec 1000 pas de temps.

Deux challenges numériques ont été rencontrés :

- 1) Temps d'exécution : le schéma consiste principalement à résoudre à chaque pas de temps une équation matricielle $AX = B$, où A est de taille $n = 1100 * 1100 = 1.21 * 10^6$. Une idée naïve serait alors de calculer A^{-1} par exemple par pivot de gauss, qui a un coût $\mathcal{O}(n^3)$, ou par l'algorithme de Strassen qui est un peu plus efficace $\mathcal{O}(n^{2.8})$. Cependant ces stratégies ne sont pas efficaces car il n'est pas nécessaire de calculer l'inverse de A : On cherche seulement l'antécédent d'une image. La stratégie implémentée ici est de trouver X par méthode des minimums résiduels, c'est à dire minimiser la fonction $x \rightarrow \|Ax - B\|^2$ par méthode des moindres carrés, méthode qui fonctionne pour les matrices symétriques et qui est très rapide pour les matrices creuses (notre cas).

On peut encore accélérer la convergence de la méthode des minimums résiduels en précisant pour μ^{n+1} le guess μ^n .

- 2) Coût en mémoire : Une matrice carrée de taille $1.21 * 10^6$ pèse 10GB de RAM sous Python... Heureusement, dans notre cas la matrice A est creuse et il existe des méthodes et bibliothèques adaptées pour représenter de telles matrices efficacement. De plus chaque ρ^n, μ^n et C^n est représenté par une matrice carrée de taille 1100, ce qui pèse 10MB. Ces matrices ne sont pas creuses donc il est plus dur de les compresser. Si l'on veut stocker ces quantités pour ensuite retracer l'évolution de ρ, μ, C pour 1000 pas de temps, ceci coûterait 30GB de RAM... Il faut donc faire des compromis, ce qui est classique : par exemple, on ne sort pas toutes les solutions mais uniquement à certains pas de temps bien choisis.

6 Recherche de la vitesse d'onde des solutions progressives de l'Équation fluide complète du champignon.

Le but de cette section est de montrer comment l'on peut obtenir la vitesse d'onde pour l'équation du champignon complète :

$$\begin{cases} \partial_t \mu + \nabla(\mu v) = f(C)(\mu + \rho) - \mu \rho \\ \partial_t(\mu v) + \nabla(\mu v \times v) + T \nabla \mu = -\lambda \mu v + \mu \nabla C - \mu v \rho \\ \partial_t \rho = F(v) \mu \\ \partial_t C = -b \rho C. \end{cases} \quad (39)$$

En effet dans les sections précédentes nous avons travaillé dans le cas λ et T très grands ce qui simplifiait les équations.

Cependant nous avons pu voir que, comme pour l'équation de Fisher KPP, pour une donnée initiale à support compact, la solution tend vers une solution d'onde et que la vitesse d'onde est déterminée par la plus petite vitesse (en valeur absolue) donnée par la condition d'amortissement fort autour de l'état initial.

Nous allons alors adopter la même stratégie pour l'équation complète.

Ici nous allons linéariser autour de l'état $(\mu, \rho, C, v) = (0, 0, C_0, v)$.

Equation d'onde pour le fluide :

Soit s la vitesse d'onde, $y = x - st$, par le même argument de symétrie que pour l'équation de "KPP avec mémoire", nous allons nous placer dans le cas $s < 0$. Avec abus de notation : $(x, t) =: (y)$, où $y = x - st$, l'équation d'onde pour le fluide est :

$$\begin{cases} -s\mu' + (\mu v)' = f(C)(\mu + \rho) - \mu \rho \\ -s(\mu v)' + (\mu v \times v)' + T\mu' = -\lambda \mu v + \mu C' - \mu v \rho \\ -s\rho' = F(v)\mu \\ -sC' = -b\rho C. \end{cases} \quad (40)$$

Linéarisation autour de l'état $(\mu, \rho, C, v) = (0, 0, C_0, v)$:

On pose $f(C_0) = f_0$, et on cherche des solutions de la forme $\rho = \rho_0 \exp(Xy)$ autour de $\rho = 0$.

On obtient en intégrant la quatrième ligne $C = C_0 - \frac{b\rho_0 C_0}{X} \exp(Xy)$.

La troisième ligne donne : $-sX\rho_0 \exp(Xy) = F_0\mu$ donc $\mu = \frac{-sX\rho_0}{F_0} \exp(Xy)$.

Autour de $(\mu, \rho, C, v) = (0, 0, C_0, v)$, la première ligne donne : $-s\mu' + (\mu v)' = f_0(\mu + \rho)$ car on peut négliger $\mu\rho$ devant μ et ρ . On a donc

$$(\mu v)' = (f_0\rho_0 - \frac{sXf_0\rho_0}{F_0} - \frac{s^2X^2\rho_0}{F_0}) \exp(Xy) \quad (41)$$

donc

$$\mu v = (\frac{f_0\rho_0}{X} - \frac{f_0s\rho_0}{F_0} - \frac{s^2X\rho_0}{F_0}) \exp(Xy). \quad (42)$$

Ainsi

$$v = \frac{\mu v}{\mu} = v_0 = s + \frac{f_0}{X} - \frac{f_0F_0}{X^2s}. \quad (43)$$

La deuxième ligne donne $-s(\mu v)' + (\mu v \times v)' + T\mu' = -\lambda \mu v + \mu C' - \mu v \rho$.

On peut ici négliger $\mu v \rho$ et $\mu C'$ devant μv . On a donc :

$$(-v_0sX\mu_0 + v_0^2X\mu_0 + T\mu_0X) \exp(Xy) = -\lambda\mu_0v_0 \exp(Xy) \quad (44)$$

donc

$$-sXv_0 + v_0^2X + TX = -\lambda v_0. \quad (45)$$

En multipliant par X^2 et en substituant $v_0 = s + \frac{f_0}{X} - \frac{f_0F_0}{X^2s}$ on a alors l'équation caractéristique :

$$X^4(Ts^2) + X^3(\lambda + f_0)s^3 + X^2(f_0^2s^2 + \lambda f_0s^2 - f_0F_0s^2) + X(-sF_0f_0)(\lambda + 2f_0) + f_0^2F_0^2 = 0. \quad (46)$$

En posant $Y = sX$ on obtient :

$$Y^4 + s^2P_3(Y) = 0 \quad (47)$$

où $P_3(Y) \equiv \frac{1}{T}(Y^3(\lambda + f_0) + Y^2(f_0^2 + \lambda f_0 - f_0F_0) - Y(F_0f_0(\lambda + 2f_0)) + f_0^2F_0^2)$ est un polynôme de degré 3 dont les coefficients ne dépendent que des données f_0 , F_0 , λ et T .

Soit Y une racine de l'équation 47, s est déterminé par Y par l'équation :

$$s^2 = -\frac{Y^4}{P_3(Y)}. \quad (48)$$

On cherche le plus grand s négatif tel que les racines de 47 soit toutes réelles (condition d'amortissement fort), donc nécessairement

$$\frac{\partial s}{\partial Y} = 0 \quad (49)$$

Ainsi

$$\left(\frac{Y^4}{P_3(Y)}\right)' = 0 \quad (50)$$

i.e.

$$Q(Y) \equiv 4P_3(Y) - YP_3'(Y) = 0 \quad (51)$$

Le polynôme Q ne dépend pas de s , on peut donc calculer ses racines réelles (il en a une ou trois). On obtient alors un ou trois candidats négatifs pour s par la formule :

$$s^2 = -\frac{Y^4}{P_3(Y)}.$$

Le s recherché est alors le plus grand de ces candidats : en effet, ce s est le plus grand s tel que les racines de 47 soient toutes réelles.

Appendices

Code de résolution de l'EDO

```
1000 import matplotlib.pyplot as plt
1001 from scipy.integrate import ode
1002 import numpy as np

1004 b=.5 # dtC=-b*rho*C
1005 F0=1 # dtRho = Fo*Mu
1006 tf=20 # temps final de la simulation
1007 rho0=0 #rho initial
1008 mu0=.1 #mu initial
1009 c0=1 #concentration initiale
1010 n=2000 #nombre de pas de temps

1012 #Résolution du schéma explicite
1013 def euler_explicite_edo(b, F0, tf, rho0, mu0, c0, n):
1014     #t0<t1 , temps etudies ,
1015     #rho0, mu0,c0 reels positifs: condition initiale
1016     #n entier(nombre d'iterations)
1017     h=tf/n #pas Deltat
1018     rho=rho0
1019     mu=mu0
1020     c=c0
1021     t=0
1022     Rho=[rho0]
1023     Mu=[mu0]
1024     C=[c0]
1025     T=[t]
1026     for k in range(n):
1027         new_mu = mu + h*(c*(mu+rho)-mu*rho)
1028         new_rho = rho + h*F0*mu
1029         new_c = c - h*b*rho*c
1030         mu=new_mu
1031         rho=new_rho
1032         c=new_c
1033         t=t+h
1034         Mu.append(new_mu)
1035         Rho.append(new_rho)
1036         C.append(new_c)
1037         T.append(t)
1038     return T,Mu,Rho,C

1040 #Résolution du schéma semi- implicite I
1041 def euler_semi_I_edo(b, F0, tf, rho0, mu0, c0, n):
1042     #t0<t1 , temps etudies ,
1043     #rho0, mu0,c0 reels positifs: condition initiale
1044     #n entier(nombre d'iterations)
1045     h=tf/n #pas Deltat
1046     rho=rho0
1047     mu=mu0
1048     c=c0
1049     t=0
1050     Rho=[rho0]
1051     Mu=[mu0]
1052     C=[c0]
1053     T=[0]
```

```

1054     for k in range(n):
1055         new_mu = (mu + h*c*rho)/(1+h*rho-h*c*(1+h*F0))
1056         new_rho = rho + h*F0*new_mu
1057         new_c = c/(1 + b*h*new_rho)
1058         mu=new_mu
1059         rho=new_rho
1060         c=new_c
1061         t=t+h
1062         Mu.append(new_mu)
1063         Rho.append(new_rho)
1064         C.append(new_c)
1065         T.append(t)
1066     return T,Mu,Rho,C

1068 #Résolution du schéma semi- implicite II
1069 def euler_semi_II_edo(b, F0, tf, rho0, mu0, c0, n):
1070     #t0<t1 , temps etudies ,
1071     #rho0, mu0,c0 reels positifs: condition initiale
1072     #n entier(nombre d'iterations)
1073     t=0
1074     h=tf/n #pas Deltat
1075     rho=rho0
1076     mu=mu0
1077     c=c0
1078     Rho=[rho0]
1079     Mu=[mu0]
1080     C=[c0]
1081     T=[0]
1082     for k in range(n):
1083         new_mu = (mu + h*c*rho-h*rho*mu)/(1-h*c*(1+h*F0))
1084         new_rho = rho + h*F0*new_mu
1085         new_c = c/(1 + b*h*new_rho)
1086         mu=new_mu
1087         rho=new_rho
1088         c=new_c
1089         t=t+h
1090         Mu.append(new_mu)
1091         Rho.append(new_rho)
1092         C.append(new_c)
1093         T.append(t)
1094     return T,Mu,Rho,C

1096 #Programmation de la méthode de Newton-Raphson
1097 def newton(f, gradf, newton_steps, x0):
1098     x=x0
1099     for k in range(newton_steps):
1100         x=x-f(x)/gradf(x)
1101     return x

1102 #Résolution du schéma implicite
1103 def euler_implicite_edo(b, F0, tf, rho0, mu0, c0, n):
1104     #t0<t1 , temps étudiés ,
1105     #rho0, mu0,c0 reels positifs: conditions initiale
1106     #n entier(nombre d'itérations)
1107     t=0
1108     newton_steps=10 #nombre d'itérations de la méthode de Newton-Raphson pour le
1109         calcul implicite
1110     h=tf/n #pas deltat
1111     rho=rho0

```



```

1112 mu=mu0
1113 c=c0
1114 Rho=[rho0]
1115 Mu=[mu0]
1116 C=[c0]
1117 T=[0]
1118 for k in range(n):
1119     #Calcul de new_mu par methode de Newton Raphson
1120     #coefficients du polynome d'ordre 3 en new_mu
1121     alpha = -h**4*F0**2*b
1122     beta= -F0*h**2*(b+1+2*rho*b*h)
1123     gamma= -(1+b*h*rho)+b*h**2*F0*mu+h*(c*(1+h*F0)-rho*(1+b*h*rho))
1124     delta=(1+b*h*rho)*mu + h*c*rho
1125     def P(X):
1126         return alpha*X**3+beta*X**2+gamma*X+delta
1127     def gradP(X):
1128         return 3*alpha*X**2+2*beta*X+gamma
1129     new_mu=newton(P,gradP,newton_steps,mu)
1130     new_rho = rho + h*F0*new_mu
1131     new_c = c/(1 + b*h*new_rho)
1132     mu=new_mu
1133     rho=new_rho
1134     c=new_c
1135     t=t+h
1136     Mu.append(new_mu)
1137     Rho.append(new_rho)
1138     C.append(new_c)
1139     T.append(t)
1140 return T,Mu,Rho,C

1141 #Utilisation des libraries python (scipy) pour résoudre l'EDO
1142 def black_box_edo(b, F0, tf, rho0, mu0, c0, n):
1143     def f(t,y,arg1,arg2):
1144         mu=y[0]
1145         rho=y[1]
1146         c=y[2]
1147         return [c*(rho+mu)-mu*rho, F0*mu, -b*rho*c]

1148     r = ode(f).set_integrator('zvode', method='adams')
1149     r.set_initial_value([mu0,rho0,c0],0).set_f_params(F0,b)
1150     dt=tf/(n-1)
1151     Rho=[rho0]
1152     Mu=[mu0]
1153     C=[c0]
1154     t=0
1155     T=[0]
1156     while r.t < tf:
1157         mu,rho,c = r.integrate(r.t+dt)
1158         Mu.append(mu)
1159         Rho.append(rho)
1160         C.append(c)
1161         T.append(r.t)
1162     return T,Mu,Rho,C

1163 #Résolution
1164 T,Mu,Rho,C = euler_semi_I_edo(b, F0, tf, rho0, mu0, c0, n)
1165
1166 rho_inf= Rho[n-1]

```

```

#Étude Asymptotique
1172 A=[np.log(mu) for mu in Mu]
B=[-min(1,b)*y*rho_inf for y in T]
1174
#Tracé des solutions et de l'étude asymptotique
1176 plt.subplot(221)
plt.plot(T,Mu)
1178 plt.ylabel('mu')
plt.xlabel('t')
1180 plt.subplot(222)
plt.plot(T,Rho)
1182 plt.ylabel('rho')
plt.subplot(223)
1184 plt.plot(T,C)
plt.ylabel('C')
1186 plt.subplot(224)
plt.plot(T,A)
1188 plt.plot(T,B)
plt.ylabel('log(mu), -b*rho_inf*t')
1190 plt.show()

```

edo.py

Code de la résolution de l'EDP en 1D

```

1000 # %load edp_1d.py
import matplotlib.pyplot as plt
1002 import numpy as np
import scipy.sparse as sp
1004 from scipy.sparse.linalg.dsolve import spsolve
import matplotlib.animation as animation
1006
#Coefficients physiques
1008 K=.5 #coefficient diffusion
b=.2 # dtC=-b*rho*C
1010 F0= 1 # dtRho = Fo*Mu

#Paramètres numériques
1012 n_t=3001 #nombre de pas de temps
1014 tf=20 # temps final de la simulation
xf = 150 #longueur de la simulation
1016 n_x =601 #nombres de points de la simulation

#Données initiales
1018 rho0=np.zeros(n_x) #rho initial
1020 mu0=np.zeros(n_x) #mu initial
mu0[(n_x//2):(n_x//2 +10)]=.01
1022 c0=np.zeros(n_x)+1 #concentration initiale

1024 def edp_1d_explicite(K, b, F0, rho0, mu0, c0, n_t , tf, xf, n_x):
    dt=tf/(n_t-1)
    1026 dx=xf/(n_x-1)
    X=np.linspace(0,xf,n_x)
    1028 T=np.linspace(0,tf,n_t)
    Mu=np.zeros((n_t,n_x))
    1030 Rho=np.zeros((n_t,n_x))
    C=np.zeros((n_t,n_x))
    1032 Mu[0]=mu0
    Rho[0]=rho0
    1034 C[0]=c0

```

```

1036 #Résolution du schema explicite
1037 for n in range(0,n_t-1):
1038     RHS=np.zeros(n_x)
1039     alpha=-C[n]*dt*(1+dt*F0)+dt*Rho[n]+1
1040     RHS[1:-1]= dt*((K/(dx**2))*(Mu[n,:-2]-2*Mu[n,1:-1]+Mu[n,2:])+C[n,1:-1]*Rho[n
1041 ,1:-1])
1042     RHS[0]= dt*((K/(dx**2))*(-2*Mu[n,0]+Mu[n,1])+C[n,0]*Rho[n,0])
1043     RHS[-1]=dt*((K/(dx**2))*(-2*Mu[n,-1]+Mu[n,-2])+C[n,-1]*Rho[n,-1])
1044     Mu[n+1]=(1/alpha)*(Mu[n]+RHS)
1045     Rho[n+1]=Rho[n]+dt*F0*Mu[n+1]
1046     C[n+1]=C[n]/(1 + b*dt*Rho[n+1])
1047 return X,T,Mu,Rho,C
1048
1049 def edp_1d_semi_implicite_I(K, b, F0, rho0, mu0, c0, n_t , tf, xf, n_x):
1050     #Détermination des paramètres numériques deltat et deltax
1051     dt=tf/(n_t-1)
1052     dx=xf/(n_x-1)
1053     #Représentation de l'espace et du temps
1054     X=np.linspace(0,xf,n_x)
1055     T=np.linspace(0,tf,n_t)
1056     #Initialisation
1057     Mu=np.zeros((n_t,n_x))
1058     Rho=np.zeros((n_t,n_x))
1059     C=np.zeros((n_t,n_x))
1060     Mu[0]=mu0
1061     Rho[0]=rho0
1062     C[0]=c0
1063     #Résolution du schéma implicite-explicite I
1064     for n in range(0,n_t-1):
1065         #Matrice du Laplacien
1066         A=np.diag(-np.ones(n_x-1),-1)+np.diag(2*np.ones(n_x),0)+np.diag(-np.ones(n_x
1067 -1),1)
1068         #Laplacien Numerique
1069         A=A*K*dt/(dx**2)
1070         #Ajout des termes implicites
1071         alpha=-C[n]*dt*(1+dt*F0)+dt*Rho[n]+1
1072         A+=np.diag(alpha,0)
1073         A=sp.csc_matrix(A)
1074         #Résolution du système implicite
1075         Mu[n+1]= spsolve(A, Mu[n]+dt*C[n]*Rho[n])
1076         Rho[n+1]=Rho[n]+dt*F0*Mu[n+1]
1077         C[n+1]=C[n]/(1 + b*dt*Rho[n+1])
1078     return X,T,Mu,Rho,C
1079
1080 def edp_1d_semi_implicite_II(K, b, F0, rho0, mu0, c0, n_t , tf, xf, n_x):
1081     #Détermination des paramètres numériques deltat et deltax
1082     dt=tf/(n_t-1)
1083     dx=xf/(n_x-1)
1084     #Représentation de l'espace et du temps
1085     X=np.linspace(0,xf,n_x)
1086     T=np.linspace(0,tf,n_t)
1087     #Initialisation
1088     Mu=np.zeros((n_t,n_x))
1089     Rho=np.zeros((n_t,n_x))
1090     C=np.zeros((n_t,n_x))
1091     Mu[0]=mu0
1092     Rho[0]=rho0
1093     C[0]=c0

```

```

1092 #Résolution du schéma implicite-explicite II
1093 for n in range(0,n_t-1):
1094     #Matrice du Laplacien
1095     A=np.diag(-np.ones(n_x-1),-1)+np.diag(2*np.ones(n_x),0)+np.diag(-np.ones(n_x
1096     -1),1)
1097     A=A*K*dt/(dx**2) #Laplacien Numerique
1098     #Ajout des termes implicites
1099     alpha=-C[n]*dt*(1+dt*F0)+1
1100     A+=np.diag(alpha,0)
1101     A= sp.csc_matrix(A)
1102     #Résolution du système implicite
1103     Mu[n+1]= spsolve(A, Mu[n]+dt*C[n]*Rho[n]-dt*Mu[n]*Rho[n])
1104     Rho[n+1]=Rho[n]+dt*F0*Mu[n+1]
1105     C[n+1]=C[n]/(1 + b*dt*Rho[n+1])
1106     return X,T,Mu,Rho,C
1107 #X,T,Mu,Rho,C= edp_1d_semi_implicite_I(K, b, F0, rho0, mu0, c0, n_t , tf, xf, n_x)
1108 X,T,Mu,Rho,C= edp_1d_semi_implicite_I(K, b, F0, rho0, mu0, c0, n_t , tf, xf, n_x)
1109
1110 def speed(X,Rho,rho_inf):
1111     #Position du front
1112     argmed=np.zeros(n_t)
1113     for i in range(n_t):
1114         argmed[i]= X[(n_x//2)+ \
1115             np.min(np.where(np.append(Rho[i,(n_x//2):],[0])<rho_inf/2))]
1116     #Vitesse du front
1117     s = ((n_t-1)/tf)*(argmed[(n_t//2)+150]-argmed[(n_t//2)]/(150))
1118     return s
1119
1120 rho_inf = Rho[n_t-1,(n_x//2)]
1121 s = speed(X,Rho,rho_inf)
1122 print('La vitesse de propagation de la simulation est s=',s)
1123
1124
1125
1126 # Comparaison de s theorique et numerique pour plusieurs données initiales
1127 # ~ memory =[]
1128 # ~ for i in range(5):
1129     # ~ for j in range(5):
1130         # ~ K = .2 + .2*i
1131         # ~ b = .1 + .1*j
1132         # ~ X,T,Mu,Rho,C= edp_1d_semi_implicite_I(K, b, F0, rho0, mu0, c0, n_t , tf,
1133         xf, n_x)
1134         # ~ #Valeur de rho a l'infini
1135         # ~ rho_inf = Rho[n_t-1,(n_x//2)]
1136         # ~ s = speed(X,Rho,rho_inf)
1137         # ~ s_theorique = np.sqrt(K*((18*F0+4)+np.sqrt(((18*F0+4)**2)+108*(1+4*F0)*(
1138         F0**2)))/(2*(1+4*F0)))
1139         # ~ memory += [K,b,s,s_theorique]
1140 # ~ np.savetxt('memory_data3.dat', memory)
1141
1142 s_theorique = np.sqrt(K*((18*F0+4)+np.sqrt(((18*F0+4)**2)+108*(1+4*F0)*(F0**2)))/
1143     /(2*(1+4*F0)))
1144 #Attention, ceci est pour C0=1
1145 print('La vitesse théorique de propagation est s_theorique=', s_theorique)
1146
1147 #Animation
1148 fig = plt.figure()

```

```

1148 ax = plt.axes(xlim=(0, xf), ylim=(0, rho_inf+1))
      line , = ax.plot([], [], lw=2)
1150 line2 , = ax.plot([], [], lw=2)
      line3 , = ax.plot([], [], lw=2)
1152 line4 , = ax.plot([], [], lw=2)
      time_text = ax.text(0.02, 0.92, '', transform=ax.transAxes)
1154 legend_text = ax.text(0.80, 0.82, '', transform=ax.transAxes)

1156 def init():
      line.set_data([], [])
1158      line2.set_data([], [])
      line3.set_data([], [])
1160      line4.set_data([], [])
      time_text.set_text('')
1162      legend_text.set_text('')
      return line, line2, line3, line4, time_text, legend_text
1164

1166 def animate(i):
      line.set_data(X, C[i])
1168      line2.set_data(X, Rho[i])
      line3.set_data(X, Mu[i])
1170      #line4.set_data(xf/2+((i*s)*tf/(n_t-1)), np.linspace(0, rho_inf+1, 10))
      time_text.set_text('time = {0:.1f}\n K={1}, b={2}, F0={3}'.format(T[i], K, b, F0))
1172      legend_text.set_text('Rho=Orange \nMu=Green \nC=Blue\ns={0:.3f}'.format(s))
      return line, line2, line3, line4, time_text, legend_text
1174

1176 anim = animation.FuncAnimation(fig, animate, init_func=init,
                                frames=(n_t-1), interval=(tf*200)/(n_t-1), blit=True)
1178

1180 #anim.save('EDP_1D.gif', writer='imagemagick', fps=30)
1182 plt.show()

```

edp_1d.py

Code de la résolution de l'EDP en 2D

```

1000 import matplotlib.pyplot as plt
      from mpl_toolkits.mplot3d import Axes3D
1002 import matplotlib.animation as animation
      import numpy as np
1004 import scipy.sparse as sp
      from scipy.sparse.linalg import dsolve import spsolve
1006 from scipy.sparse.linalg import bicgstab, bicg, cg, cgs, gmres, lgmres, minres, qmr,
      gcrotmk
      from IPython.display import HTML
1008 import time
      start_time = time.time()
1010
      #Coefficients physiques
1012 K=.2 #coefficient diffusion
      b=.2# dtC=-b*rho*C
1014 F0= 1 # dtRho = Fo*Mu

1016 physique = [K, b, F0]

```

```

1018 #Paramètres numériques
1019 n_t=500 #nombre de pas de temps
1020 tf=170 # temps final de la simulation
1021 xf = 500 #longueur de la simulation
1022 n_x = 1100 #nombres de points de la simulation
1023 yf = xf
1024 n_y = n_x
1025 n_xy = n_x * n_y
1026 numerique = [n_t, tf, xf, n_x, yf, n_y]

1028 params = physique, numerique

1030
1031 #Données initiales
1032 rho0=np.zeros(n_xy) #rho initial
1033 mu0=np.zeros(n_xy)#mu initial
1034 mu0[((n_xy+n_x)//2):((n_xy+n_x)//2)+1]=.01
1035 c0=np.zeros(n_xy) +1 #concentration initiale
1036
1037 xm = 200
1038 xM = 300
1039 ym = 120
1040 yM = 220
1041 im = ((xm*n_x)//xf)
1042 iM = ((xM*n_x)//xf)
1043 jm = ((ym*n_y)//xf)
1044 jM = ((yM*n_y)//xf)
1045 for i in range(im,iM):
1046     for j in range(jm,jM):
1047         c0[i+j*n_x] = 0.
1048
1049 class EDP():
1050     def __init__(self, params):
1051         self.physique, self.numerique = params
1052         self.K, self.b, self.F0 = self.physique
1053         self.n_t, self.tf, self.xf, self.n_x, self.yf, self.n_y = self.numerique
1054
1055
1056         self.n_xy = self.n_x*self.n_y
1057         self.dt = self.tf/(self.n_t-1)
1058         self.dx = self.xf/(self.n_x-1)
1059         self.dy = self.yf/(self.n_y-1)
1060
1061         #self.X = np.linspace(0, self.xf, self.n_x)
1062         #self.Y = np.linspace(0, self.yf, self.n_y)
1063         #self.T = np.linspace(0, self.tf, self.n_t)
1064
1065         #Matrice du Laplacien
1066         self.Lapl = sp.diags(-4*np.ones(self.n_xy), 0)
1067         #Lapl += sp.diags(np.ones(n_xy-1), 1)+sp.diags(np.ones(n_xy-1), -1)
1068         diagmod = np.ones(self.n_xy-1)
1069         diagmod[np.arange(self.n_y-1, self.n_xy-1, self.n_y)] = np.zeros(self.n_y-1)
1070         self.Lapl += sp.diags(diagmod, 1) + sp.diags(diagmod, -1)
1071         self.Lapl += sp.diags(np.ones(self.n_xy-self.n_y), self.n_y)+sp.diags(np.ones(
1072             (self.n_xy-self.n_y), -self.n_y)
1073         self.Lapl = -self.K*self.dt/(self.dx**2)*self.Lapl
1074         self.Cond = sp.identity(self.n_xy)
1075     def array_to_2D(n_x, vect):
1076         return np.array(np.split(vect, n_x))

```

```

1076     def integrate(self, initial):
1077         mu, rho, c = initial
1078         alpha = c * self.dt * (1 + self.dt * self.F0) + self.dt * rho + 1
1079         A = self.Lapl + sp.diags(alpha, 0)
1080         Target = mu + self.dt * c * rho
1081
1082         #next_mu = spsolve(A, Target) #95.28 secondes d'execution
1083         #next_mu, check = bicg(A, Target) #3.38 secondes d'execution
1084         #next_mu, check = bicgstab(A, Target, x0=mu) #2.15 secondes d'execution
1085         #next_mu, check = cg(A, Target) #2.29 secondes d'execution
1086         #next_mu, check = cgs(A, Target) #2.36 secondes d'execution
1087         #next_mu, check = gmres(A, Target) #2.72 secondes d'execution
1088         #next_mu, check = lgmres(A, Target) #2.62 secondes d'execution
1089         next_mu, check = minres(A, Target, x0=mu, M=self.Cond) #2.15 secondes d'
1090         execution
1091         #next_mu, check = qmr(A, Target) #3.70 secondes d'execution
1092         #next_mu, check = gcrotmk(A, Target) #2.62 secondes d'execution
1093         next_rho = rho + self.dt * self.F0 * next_mu
1094         next_c = c / (1 + self.b * self.dt * next_rho)
1095         return next_mu, next_rho, next_c
1096
1097 Agent = EDP(params)
1098 dt = Agent.dt
1099
1100 mu = mu0
1101 rho = rho0
1102 c = c0
1103 Mu = [mu0]
1104 Rho = [rho0]
1105 C = [c0]
1106 T = [0]
1107 n = 0
1108 step = 5
1109 while n < n.t:
1110     mu, rho, c = Agent.integrate((mu, rho, c))
1111     if n % step == 0:
1112         Mu.append(mu)
1113         Rho.append(rho)
1114         C.append(c)
1115         T.append(n * dt)
1116     if n % 25 == 0:
1117         print(n, (time.time() - start_time))
1118     n += 1
1119
1120 print("—— %s seconds ——" % (time.time() - start_time))
1121
1122 tot = len(Mu)
1123
1124 Draw = 'C'
1125 f = C
1126
1127 fig = plt.figure()
1128 im = plt.imshow(EDP.array_to_2D(n_x, f[2]), animated=True, cmap='PiYG')
1129 time_text = plt.text(0, 0, '')
1130
1131 i = 2
1132 def updatefig(*args):

```

```

1134     global i
1135     i+=1
1136     if i< tot -1:
1137         im.set_array(EDP.array_to_2D(n_x,f[i]))
1138         time_text.set_text('time = {0:.1f}'.format(T[i]))
1139     return im, time_text
1140
1141 ani = animation.FuncAnimation(fig, updatefig, interval=100, blit=True, repeat=True)
1142 ani.save('EDP_2D_'+Draw+'.gif', writer='imagemagick', fps=30)
1143
1144 Draw = 'Mu'
1145 f = Mu
1146
1147 fig = plt.figure()
1148 im = plt.imshow(EDP.array_to_2D(n_x,f[2]), animated=True, cmap='PiYG')
1149 time_text = plt.text(0, 0, 'test')
1150 i = 2
1151 def updatefig(*args):
1152     global i
1153     i+=1
1154     if i< tot -1:
1155         im.set_array(EDP.array_to_2D(n_x,f[i]))
1156         time_text.set_text('time = {0:.1f}'.format(T[i]))
1157     return im, time_text
1158
1159 ani = animation.FuncAnimation(fig, updatefig, interval=100, blit=True, repeat=True)
1160 ani.save('EDP_2D_'+Draw+'.gif', writer='imagemagick', fps=30)
1161
1162 Draw = 'Rho'
1163 f = Rho
1164
1165 fig = plt.figure()
1166 im = plt.imshow(EDP.array_to_2D(n_x,f[2]), animated=True, cmap='PiYG')
1167 time_text = plt.text(0, 0, '')
1168 i = 2
1169 def updatefig(*args):
1170     global i
1171     i+=1
1172     if i< tot -1:
1173         im.set_array(EDP.array_to_2D(n_x,f[i]))
1174         time_text.set_text('time = {0:.1f}'.format(T[i]))
1175     return im, time_text
1176
1177 ani = animation.FuncAnimation(fig, updatefig, interval=100, blit=True, repeat=True)
1178 ani.save('EDP_2D_'+Draw+'.gif', writer='imagemagick', fps=30)
1179
1180
1181 plt.show()

```

edp_2d.py